



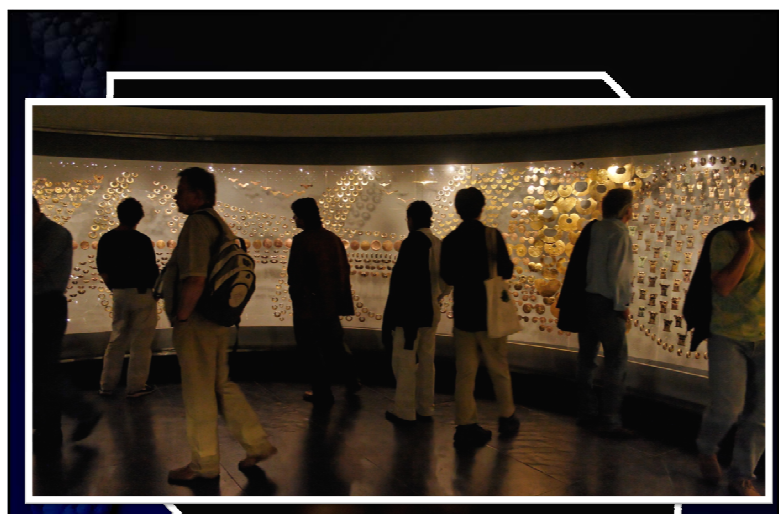
Embrapa

Felipe R. da Silva

Biologia Computacional MO604
Unicamp, 1º Sem. 2010



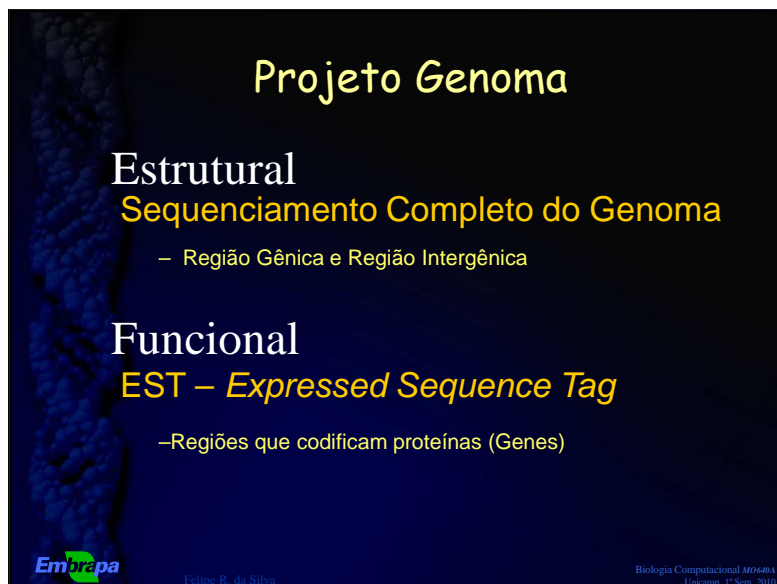
Felipe R. da Silva
Unicamp, 1º Sem. 2010

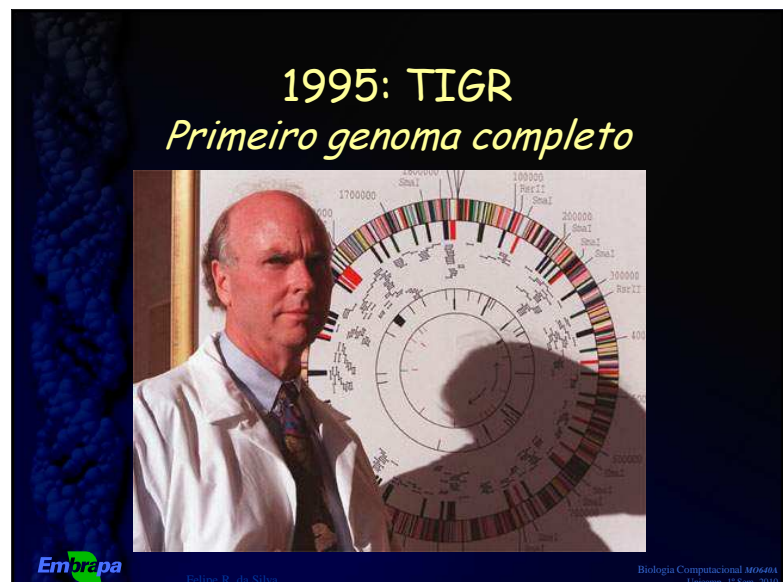
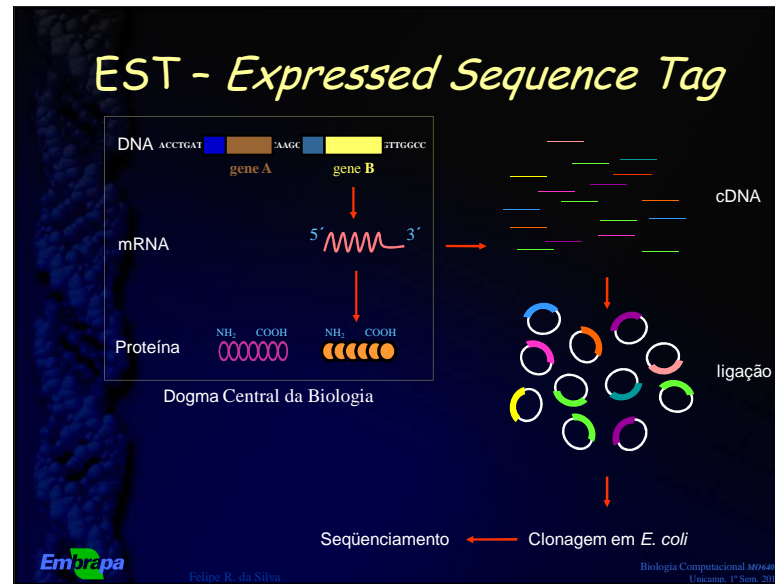
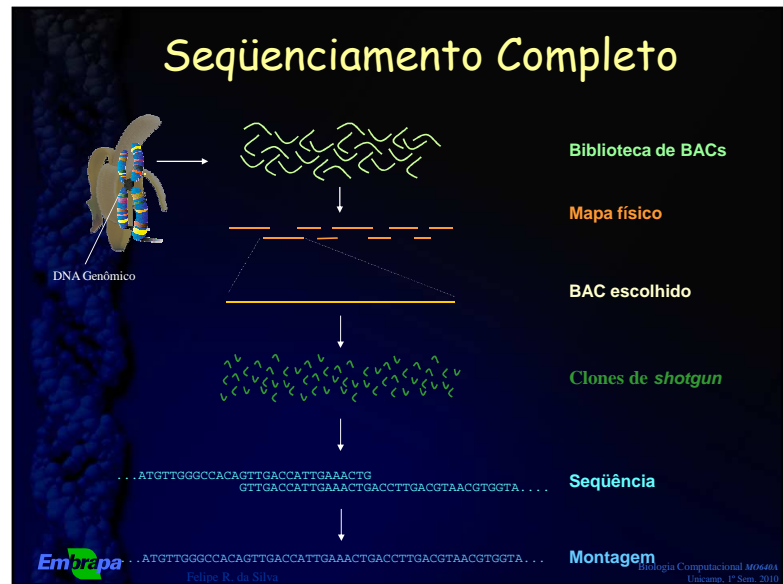


Embrapa

Felipe R. da Silva

Biologia Computacional MO604
Unicamp, 1º Sem. 2010

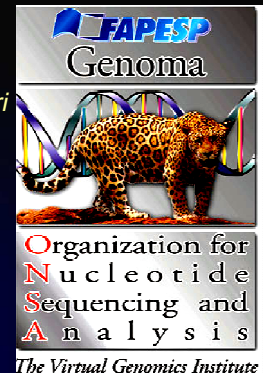






A Rede ONSA

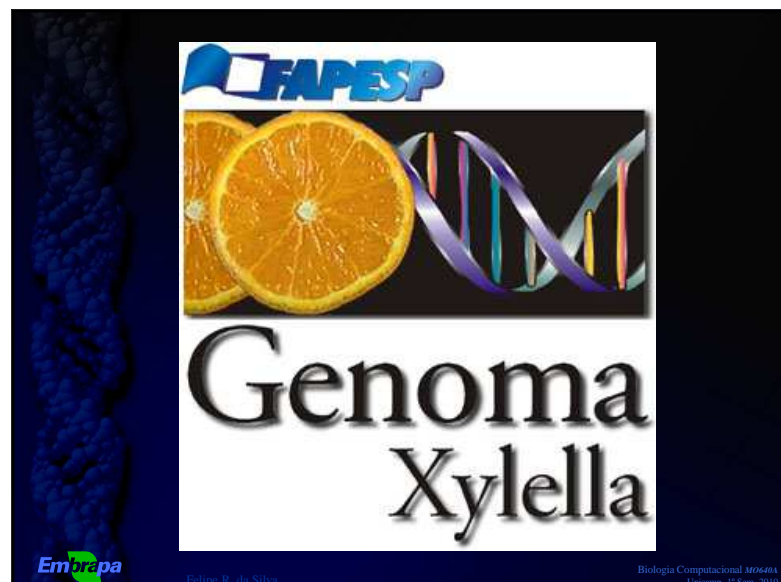
- *Xylella fastidiosa*
 - *Xanthomonas axonopodis* pv *citri*
 - Sugar Cane EST
 - Human Cancer EST
 - *Xanthomonas campestris*
 - AEG
 - *X. fastidiosa* / Pierce's Disease
 - *Leifsonia xyli* subsp. *Xyli*
 - *eucalipto*



Biología Computacional **MO640**



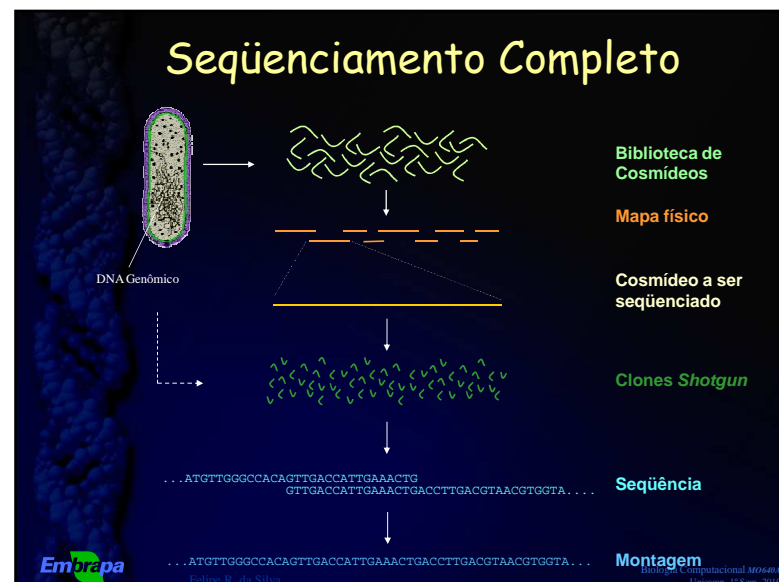
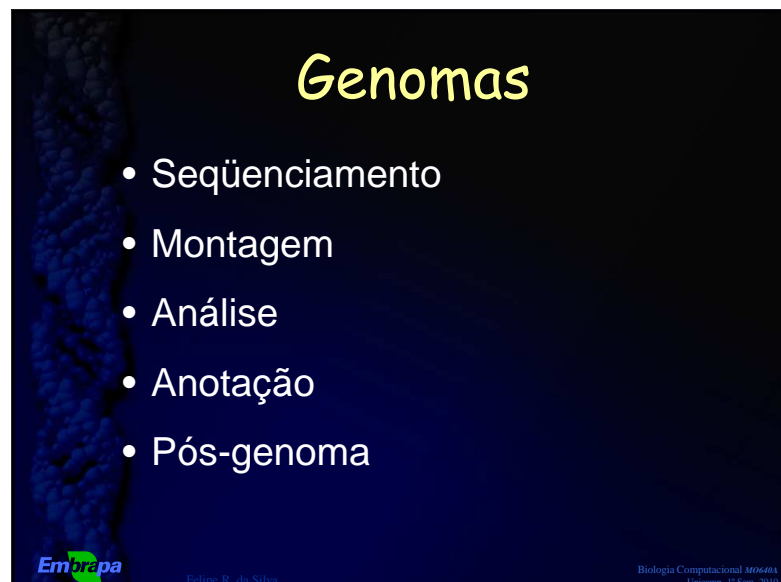
Biologia Computacional MO640A
Unicamp, 1º Sem. 2010



CVC

clorose variegada dos citros





Estratégia de seqüenciamento

- Pequena escala
 - Leitura única
 - Deleções sucessivas
 - Subclonagem
 - *Primer walking*
 - *shotgun*



Felipe R. da Silva

Biologia Computacional MO604
Unicamp, 1º Sem. 2010

Shotgun

- Amostrar fragmentos da seqüência-alvo da maneira mais aleatória possível.
- Determinar a maior porção possível das seqüências das extremidades destes fragmentos

Sanger F, Coulson AR, Hong GF, Hill DF, Petersen GB. (1982) Nucleotide sequence of bacteriophage lambda DNA. *J Mol Biol* 162(4): 729-73.



Felipe R. da Silva

Biologia Computacional MO604
Unicamp, 1º Sem. 2010

Montagem shotgun



Felipe R. da Silva

Biologia Computacional MO604
Unicamp, 1º Sem. 2010

Montagem

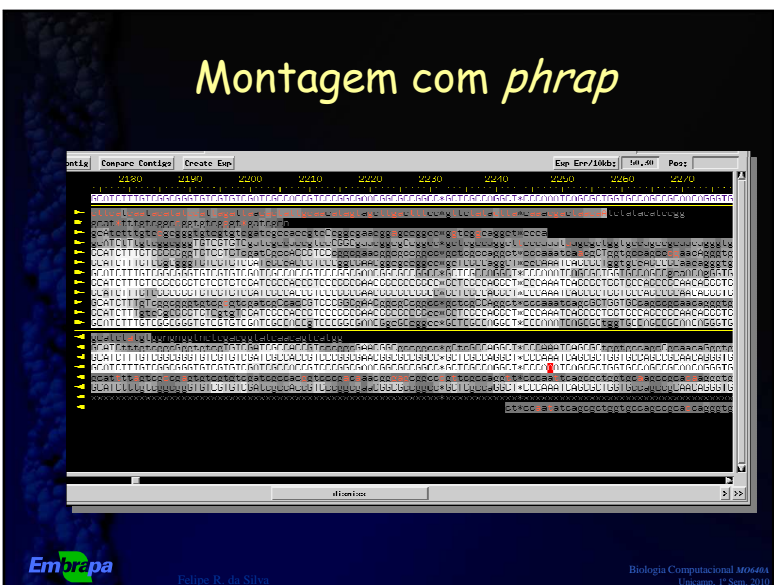
- *Trimming* (corte)
 - fixo
 - por ambiguidade
 - por qualidade
- Consenso
 - inclusivo (código de ambiguidades)
 - por freqüencia
 - por qualidade



Felipe R. da Silva

Biologia Computacional MO604
Unicamp, 1º Sem. 2010

Montagem com phrap



Análise

- Reads
 - sem dados
 - ruínas
 - errados
 - vetor
 - hospedeiro

- Montagem
 - gaps
 - conflitos
 - quimeras/deleções

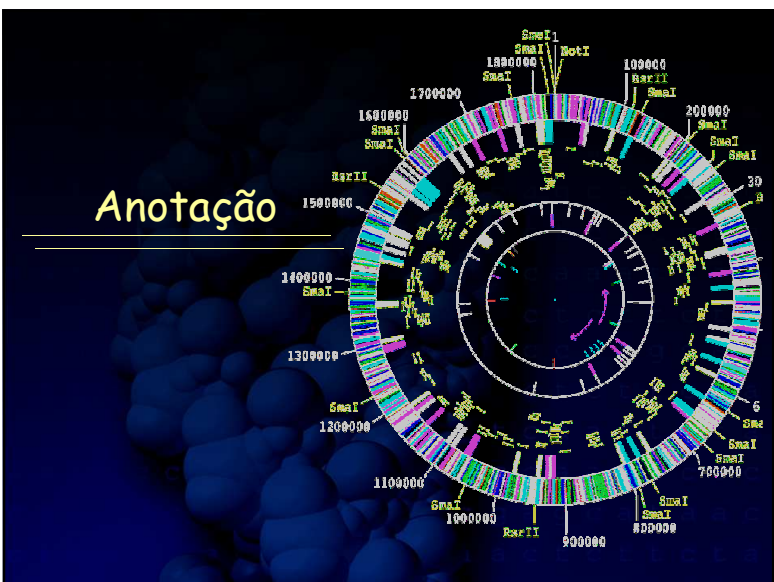
- Checagem de co-linearidade



Felipe R. da Silva

Biotecnologia Computacional MO6404
Unicamp, 1º Sem. 2010

Anotação



Anotação

- ORFs
 - localização
 - identificação

- RNAs

- Seqüências regulatórias



Felipe R. da Silva

Biotecnologia Computacional MO6404
Unicamp, 1º Sem. 2010

Embrapa

- xylella main chromosome from 2235870 to 2247690 (reverse complemented)
- 11.820 pares de base, ou 0.44% do tamanho total (226x)

Nacional MO640M
ap., 1º Sem. 2010

Predição de genes

- Esta seqüência é codificadora?
 - Como o gene X está organizado?

Biologia Computacional MO640
Unicamp, 1º Sem. 2010

Embrapa

Felipe R. da Silv

Anotação

- Que vias metabólicas estão presentes neste organismo?
 - O que ele é capaz de fazer?
 - O que ele não é capaz de fazer?

Embrapa

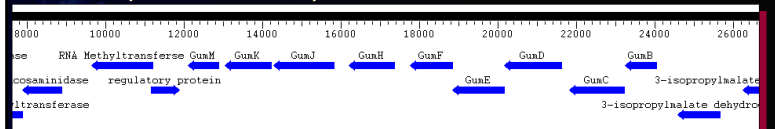
Biología Computacional MO640A
Unicamp, 1º Sem. 2010

Predição de genes é difícil

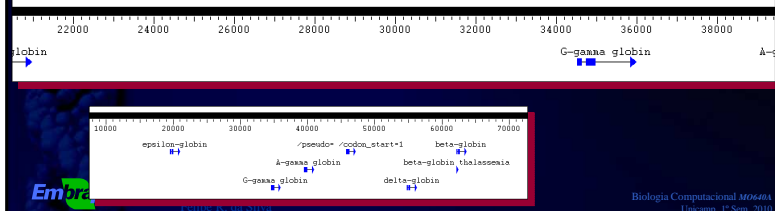
- Sinais nas seqüências de DNA tem baixo conteúdo de informação
 - Degenerado, altamente inespecífico
 - Discriminação dos sinais verdadeiros é complicado
 - Erros de seqüenciamento

Organização dos genomas

- Operon Gum de *Xylella*



- Região da beta globina humana no cromossomo 11

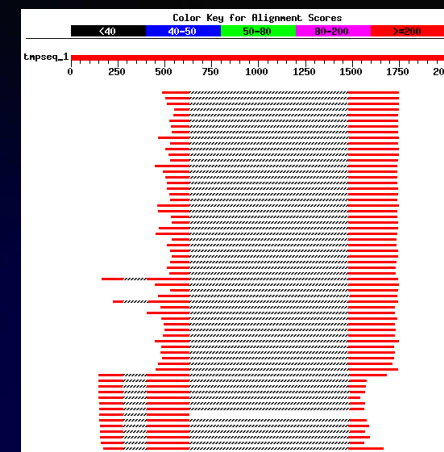


Blastn β-globina (62000 to 64000)

Sequences producing significant alignments:	Score (bits)	E Value
emb F24593.1 F24593 HSPD11021 HM3 Homo sapiens cDNA clone s...	523	e-146
emb F26056.1 F26056 HSPD13352 HM3 Homo sapiens cDNA clone s...	523	e-146
gb T41162 T41162 ya31f08.s3 Homo sapiens cDNA clone 62247 3...	523	e-146
emb F27352.1 F27352 HSPD15247 HM3 Homo sapiens cDNA clone s...	523	e-146
emb F33173.1 F33173 HSPD26430 HM3 Homo sapiens cDNA clone s...	521	e-145
emb F21808.1 F21808 HSPD06401 HM3 Homo sapiens cDNA clone 0...	519	e-145
emb F21643.1 F21643 HSPD06227 HM3 Homo sapiens cDNA clone 0...	519	e-145
emb F20795.1 F20795 HSPD05201 HM3 Homo sapiens cDNA clone 0...	519	e-145
emb F31552.1 F31552 HSPD22843 HM3 Homo sapiens cDNA clone s...	517	e-144
gb R06757 R06757 y1fld02.s1 Homo sapiens cDNA clone 126531 ...	517	e-144
emb F26092.1 F26092 HSPD13402 HM3 Homo sapiens cDNA clone s...	515	e-143
emb F28594.1 F28594 HSPD17840 HM3 Homo sapiens cDNA clone s...	515	e-143
emb F24982.1 F24982 HSPD11692 HM3 Homo sapiens cDNA clone s...	515	e-143
emb F37427.1 F37427 HSPD36142 HM3 Homo sapiens cDNA clone s...	513	e-143
gb R191762 R191762 y9pb911.s1 Homo sapiens cDNA clone 195453 ...	513	e-143
gb AA296097 AA296097 EST10430 Adipose tissue, white, I Homo ...	513	e-143
gb R30603 R03060 y1gc07.s1 Homo sapiens cDNA clone 196812 ...	513	e-143
gb R15149 R15149 y0g911.s1 Homo sapiens cDNA clone 196436 ...	513	e-143
emb F31377.1 F31377 HSPD22507 HM3 Homo sapiens cDNA clone s...	513	e-143
emb F36284.1 F36284 HSPD337731 HM3 Homo sapiens cDNA clone s...	511	e-142
emb F24336.1 F24336 HSPD10580 HM3 Homo sapiens cDNA clone s...	509	e-142
emb F29589.1 F29589 HSPD19534 HM3 Homo sapiens cDNA clone s...	509	e-142
gb H95645 H95645 y1v7b07.s1 Soares fetal liver spleen 1NPLS... H95645	509	e-142

Embrapa

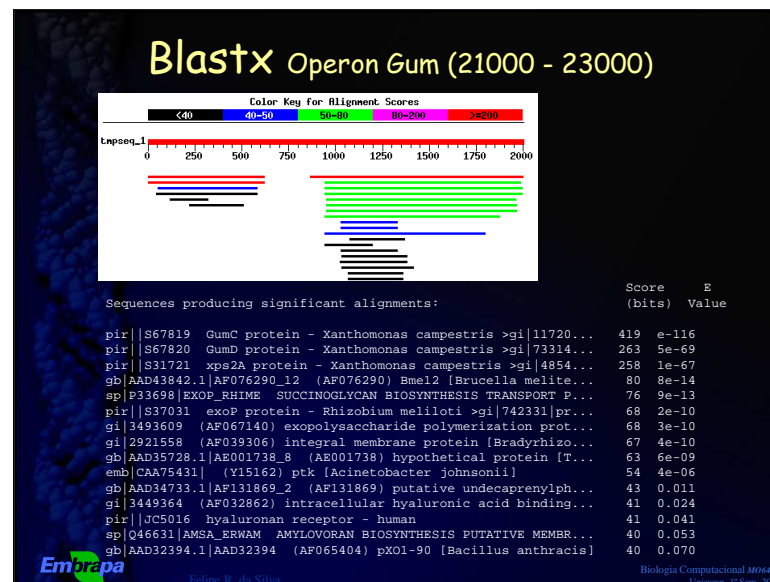
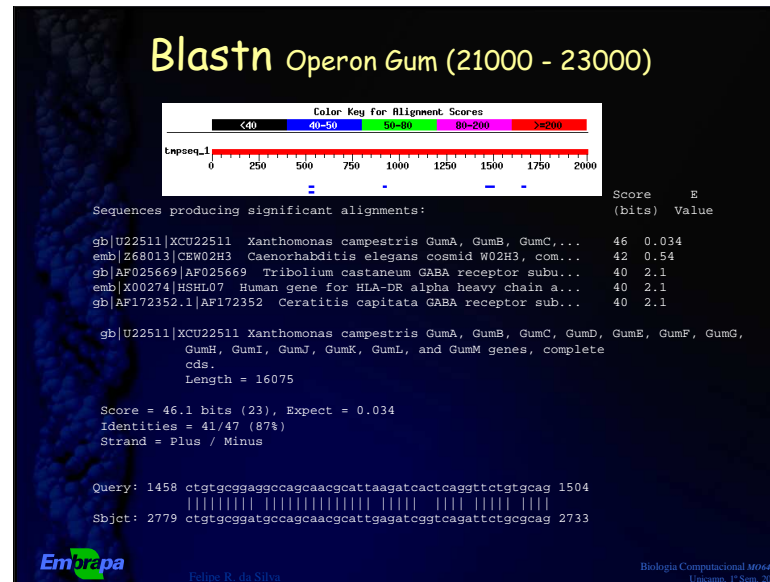
Blastn β -globina (62000 to 64000)



Biología Computacional MO640
Unicamp, 1º Sem. 2018

Blastn β -globina (62000 to 64000)

 sbjc





Embrapa

Biología Computacional MO640A
Unicamp, 1º Sem. 2010

GumB (654 bp) (217 aa)

GumC (1404 bp) (467 aa)

GumD (1455 bp) (484 aa)

GumE (1275 bp) (424 aa)

GumF (1092 bp) (363 aa)

GumG (1533 bp) (510 aa)

GumH (1143 bp) (380 aa)

GumJ (1533 bp) (510 aa)

GumK (846 bp) (281 aa)

GumM (798 bp) (265 aa)

• *xylella* main chromosome from 2235870 to 2247690 (reverse complemented)

• xylella main chr
Felipe R. da Silva

- *xylella* main chromosome from 2235870 to 2247690 (reverse complement)

- *xylella* main chromosome from 2235870 to 2247690 (reverse complement)



Biología Computacional MO640A
Unicamp, 1º Sem. 2010

*O genoma publicado de *Xylella fastidiosa**

- Mar/98 – Jan/00
- 2,7 Mbp
- 2,904 ORFs

The figure shows the front cover of the July 13, 2000, issue of the journal *nature*. The title "nature" is prominently displayed in large green letters. Below it, the subtitle "International weekly journal of science" and the date "13 July 2000" are visible. The cover features a photograph of several citrus fruits, including oranges and a large green fruit like a melon or watermelon, with some leaves and a small insect-like creature resting on them. A green banner at the bottom left contains the text "Citrus pathogen sequenced". To the right of the banner, there are several other news headlines: "Ecology: ecology", "Climate: sulphurates", "AIDS: Mikkel responds to critics", "Molecular: Molecular", "Ecology: chemistry meets computers", and "Books: books focus on biomedicine". The overall background of the slide has a dark, textured pattern.

Nature, (July 13, 2000) 406:151-157.

Embrapa

Felipe R. da Silva

Embrapa

MO640

Grupo do genoma da *Xylella*

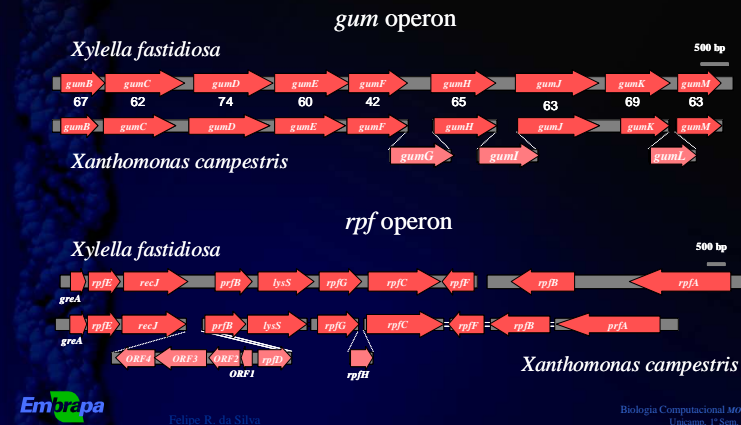


Embrapa

Felipe R. da Silva

Bioinformática MO604
Unicamp, 1º Sem. 2010

Mapa genético dos operons *gum* e *rpf*

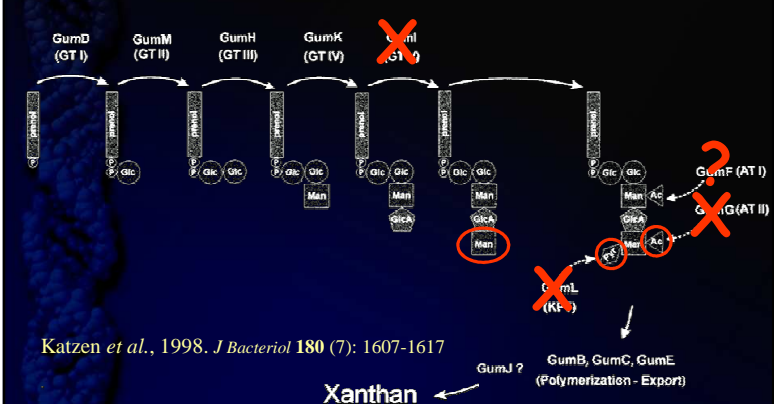


Bioinformática MO604
Unicamp, 1º Sem. 2010

Embrapa

Felipe R. da Silva

Via sintética da goma xantana



Embrapa

Felipe R. da Silva

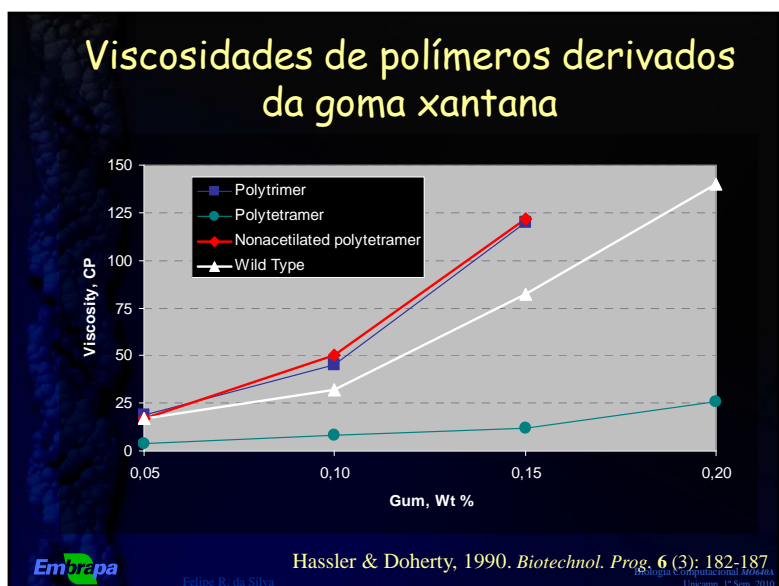
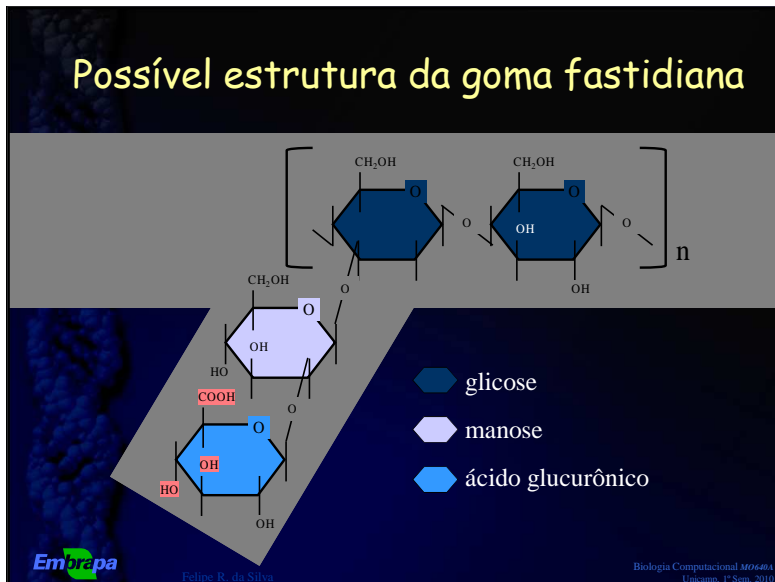
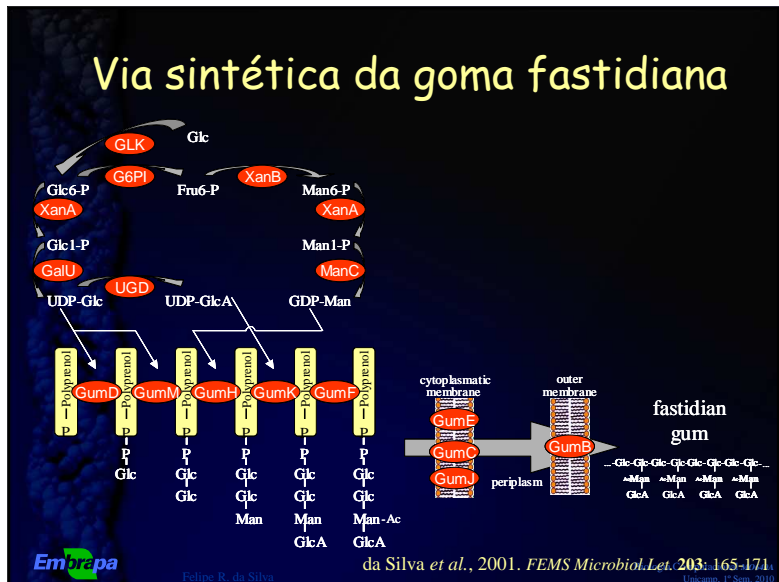
Bioinformática MO604
Unicamp, 1º Sem. 2010

classe	gene ID	gene homólogo	identidade	função
Regulador	XF0287	<i>rpfB</i>	72.3	regulatory protein (DSF)
Regulador	XF0290	<i>rpfA</i>	80.0	aconitase
Regulador	XF1109	<i>rpfE</i>	65.2	regulatory protein
Regulador	XF1113	<i>rpfG</i>	77.0	two-component system, regulatory protein
Regulador	XF1114	<i>rpfC</i>	60.0	fused two-component sensor-regulator protein
Regulador	XF1115	<i>rpfF</i>	65.7	regulatory protein (DSF)
Precursor	XF0232	<i>pgi</i>	79.1	glucose-6-phosphate isomerase
Precursor	XF0259	<i>xanB</i>	84.5	phosphomannose isomerase-GDP-mannose pyrophosphorylase
Precursor	XF0260	<i>xanA</i>	84.8	phosphoglucomutase /phosphomannomutase
Precursor	XF1064	<i>glk</i>	41.4	glucose kinase
Precursor	XF1460	<i>glk</i>	32.7	glucose kinase
Precursor	XF1606	<i>algD</i>	66.1	UDP-glucose dehydrogenase
Precursor	XF2432	<i>gtab</i>	81.8	UTP-glucose-1-phosphate uridylyltransferase
EPS-sint	XF2360	<i>gumM</i>	63.1	GumM protein
EPS-sint	XF2361	<i>gumK</i>	68.7	GumK protein
EPS-sint	XF2364	<i>gumH</i>	64.7	GumH protein
EPS-sint	XF2365	<i>gumF</i>	41.9	GumF protein
EPS-sint	XF2367	<i>gumD</i>	73.6	GumD protein
EPS-exp	XF2362	<i>gumJ</i>	62.7	GumJ protein
EPS-exp	XF2366	<i>gumE</i>	59.9	GumE protein
EPS-exp	XF2369	<i>gumC</i>	61.2	GumC protein
EPS-exp	XF2370	<i>gumB</i>	67.1	GumB protein

Bioinformática MO604
Unicamp, 1º Sem. 2010

Embrapa

Felipe R. da Silva





<http://www.cenargen.embrapa.br/~felipes/>

felipes@cnptia.embrapa.br



Felipe R. da Silva

Biologia Computacional MO604
Unicamp, 1º Sem. 2010